

# Calcul de traces de l'algorithme F4 et applications

Vanessa VITSE – Antoine Joux

Université de Versailles Saint-Quentin, Laboratoire PRISM

Séminaire CAMEL, LORIA, Nancy

# Part I

## Introduction

# Problématique

Objectif : donner une technique permettant de résoudre efficacement beaucoup de systèmes polynomiaux “similaires”

## Famille paramétrée de systèmes

$V \subset \mathbb{K}^\ell$  variété algébrique

- Système paramétré générique :  $F_1, \dots, F_r \in \mathbb{K}(V)[\underline{X}]$
- Instance aléatoire :  
 $\{f_1, \dots, f_r\} = \{F_1(y), \dots, F_r(y)\} \subset \mathbb{K}[\underline{X}]$  pour un  $y \in V$  aléatoire

# Techniques de résolution d'un système

## Outil principal : calcul de base de Gröbner

Deux algorithmes standards dûs à Faugère

- F4 ('99) : simple et rapide mais beaucoup de calculs inutiles (réductions à zéro)
  - F5 ('02) : critère sophistiqué évitant les réductions à zéro mais perte d'efficacité sur les autres réductions
- 
- algorithmes généralistes
  - pas de prise en compte de la similarité des systèmes

## Variante F4

### Notre contribution

Exploiter les calculs faits par F4 pour un premier système pour éviter les réductions à zéro dans les calculs suivants

### Travaux antérieurs

- Idée provenant des calculs de GB sur  $\mathbb{Q}$  par restes chinois
- Traverso ('88) : analyse de *traces de Gröbner* pour l'algorithme de Buchberger dans le cas rationnel

## Variante F4

### Notre contribution

Exploiter les calculs faits par F4 pour un premier système pour éviter les réductions à zéro dans les calculs suivants

### Travaux antérieurs

- Idée provenant des calculs de GB sur  $\mathbb{Q}$  par restes chinois
- Traverso ('88) : analyse de *traces de Gröbner* pour l'algorithme de Buchberger dans le cas rationnel

Notion utile lorsque :

- calcul de la GB du système instancié faisable
- beaucoup de systèmes d'une même famille à résoudre
- calcul d'une GB paramétrée (“comprehensive Gröbner basis”) impossible

# Exemples d'utilisation

## Attaque par décomposition sur courbes elliptiques

Résolution du DL (et autres problèmes) sur  $E(\mathbb{F}_{q^n})$  par calcul d'index

- Base de factorisation :  $\mathcal{F} = \{(x, y) \in E(\mathbb{F}_{q^n}) : x \in \mathbb{F}_q\}$
- But : trouver de l'ordre de  $q$  décompositions de la forme

$$R = P_1 + \dots + P_m, \text{ avec } P_i \in \mathcal{F}$$

### Attaque algébrique

- traduire chaque essai de décomposition d'un point  $R$  dans  $\mathcal{F}$  en une résolution d'un système polynomial  $\mathcal{S}_R$  (Semaev + restriction de Weil)
- $\mathcal{S}_R = \{f_1, \dots, f_n\} \subset \mathbb{F}_q[X_1, \dots, X_m]$  est une instance d'un système polynomial paramétré

**chaque test de décomposition  $\leftrightarrow$  résoudre  $\mathcal{S}_R$  sur  $\mathbb{F}_q$**

# Exemples d'utilisation

## Techniques de résolution de systèmes polynomiaux

- Approche hybride : compromis entre recherche exhaustive de solutions et calcul de GB
  - ▶ trouver une solution de  $f_1, \dots, f_r \in \mathbb{F}_q[X_1, \dots, X_n]$  en testant toutes les valeurs possibles de quelques variables  $X_1, \dots, X_k$
  - ▶ calculs des GB des systèmes spécialisés  $f_1(x_1, \dots, x_k), \dots, f_r(x_1, \dots, x_k)$  beaucoup plus simples, mais  $q^k$  calculs à faire
  
- Changement de caractéristique
  - ▶ Restes chinois : déduire la GB de  $f_1, \dots, f_r \in \mathbb{Q}[\underline{X}]$  des calculs des GB de  $\bar{f}_1, \dots, \bar{f}_r \in \mathbb{Z}/p\mathbb{Z}[\underline{X}]$  pour de nombreux  $p$  premiers
  - ▶ Grande caractéristique : calcul de la GB de  $f_1, \dots, f_r \in \mathbb{Z}/p_1\mathbb{Z}[\underline{X}]$  accéléré par précalcul dans  $\mathbb{Z}/p_2\mathbb{Z}$ ,  $p_2 \ll p_1$ .

## Part II

### F4 et sa variante

# Rappels sur les bases de Gröbner

## Définition

$I = \langle f_1, \dots, f_r \rangle \subset \mathbb{K}[X_1, \dots, X_n]$  idéal

$G = \{g_1, \dots, g_s\} \subset I$  base de Gröbner de  $I$  si  $\langle \text{lt}(g_1), \dots, \text{lt}(g_s) \rangle = \text{lt}(I)$

Opérations élémentaires :

- Division d'un polynôme multivarié par une liste de polynômes selon un ordre monomial
- S-polynôme (ou paire critique) :  $f_1, f_2 \in \mathbb{K}[X_1, \dots, X_n]$

$$S(f_1, f_2) = \frac{\text{lm}(f_1) \vee \text{lm}(f_2)}{\text{lt}(f_1)} f_1 - \frac{\text{lm}(f_1) \vee \text{lm}(f_2)}{\text{lt}(f_2)} f_2$$

## Théorème de Buchberger

$G = \{g_1, \dots, g_s\}$  base de Gröbner  $\Leftrightarrow \overline{S(g_i, g_j)}^G = 0$  pour tout  $(i, j)$

# Algorithme de Buchberger et implémentation

## Algo

```

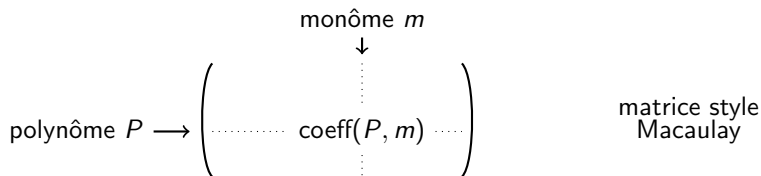
 $G \leftarrow \{f_1, \dots, f_k\}$ 
 $CP \leftarrow \{S(f_i, f_j), 1 \leq i < j \leq k\}$ 
while  $CP \neq \emptyset$  do
  choisir  $s \in CP$ 
   $r \leftarrow \bar{s}^G$ 
  if  $r \neq 0$  then
     $CP \leftarrow CP \cup \{S(g, r) : g \in G\}$ 
     $G \leftarrow G \cup \{r\}$ 
return  $G$ 

```

- stratégie optimale de choix des paires ?  
→ par degré du lcm croissant
- temps de calcul concentré sur réduction des paires  
→ critères de Buchberger

## Algorithme F4: deux idées clés

- Algèbre linéaire pour réduire simultanément les paires sélectionnées  $(lcm, u_1, f_1, u_2, f_2)$  où  $lcm = \text{lm}(f_1) \vee \text{lm}(f_2)$ ,  $u_i = \frac{lcm}{\text{lm}(f_i)}$ 
  - construction d'une matrice type Macaulay contenant
    - ▶ les produits  $u_i f_i$  provenant des paires sélectionnées
    - ▶ les multiples des polynômes de  $G$  permettant de réduire les queues



## Algorithme F4: deux idées clés

- ① Algèbre linéaire pour réduire simultanément les paires sélectionnées  $(lcm, u_1, f_1, u_2, f_2)$  où  $lcm = \text{lm}(f_1) \vee \text{lm}(f_2)$ ,  $u_i = \frac{lcm}{\text{lm}(f_i)}$

→ construction d'une matrice type Macaulay contenant

- ▶ les produits  $u_i f_i$  provenant des paires sélectionnées
- ▶ les multiples des polynômes de  $G$  permettant de réduire les queues

- ② Mémoriser les réductions

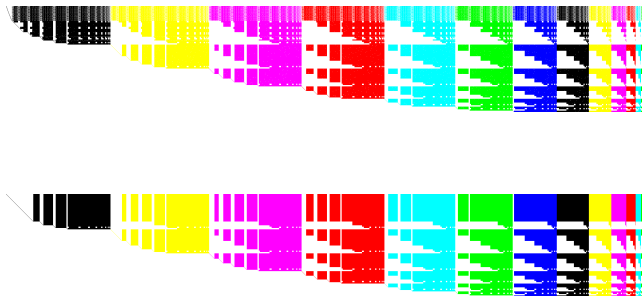
- ▶ remplacer le produit  $u_i f_i$  par  $\left(\frac{\text{lm}(u_i f_i)}{\text{lm}(f')}\right) f'$   
où  $f'$  obtenu dans matrices réduites précédentes tel que  $\text{lm}(f') \parallel \text{lm}(u_i f_i)$

- ▶ avantage : queue du nouveau produit déjà partiellement réduite  
→ moins de lignes dans la matrice, moins de réductions nécessaires

# Réduction des matrices

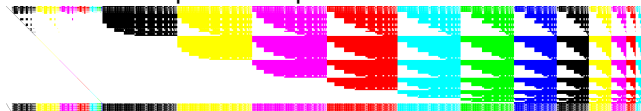
Particularités :

- tailles très variables
- presque triangulaires supérieures
- beaucoup de zéros, mais pas creuses non plus



# Choix d'implémentation

- localisation a priori des pivots et de certains zéros



- instructions SIMD pour opération élémentaire  $L_{\text{todo}} \leftarrow L_{\text{todo}} + c.L_{\text{pivot}}$   
→ on traite plusieurs coefficients simultanément
- réduction modulaire compatible SIMD, à base de  $\ggg$  et de  $\wedge$
- découpage en tranches de la matrice et déroulage de boucles
- pas de techniques de réduction avancée (Strassen/Winograd)
  - ▶ perte de la localisation des zéros
  - ▶ compatibilité SIMD ?
  - ▶ tests réalisés non concluants

# Notre variante de F4

## Structure du programme

- ① F4Precomp: sur le premier système
  - ▶ à chaque étape, enregistrer la liste des multiples de la base utilisés
  - ▶ réduction à zéro → retirer un multiple bien choisi de la liste
- ② F4Remake: sur les systèmes suivants
  - ▶ pas de liste d'attente des paires critiques à traiter
  - ▶ à chaque étape, considérer seulement les multiples nécessaires listés durant le précalcul

Choix des polynômes à éliminer :

- calcul de  $A$  tq  $AM = M'$ ,  $M'$  = matrice échelon réduite de  $M$   
RAZ dans  $M' \leftrightarrow$  dépendance linéaire entre lignes de  $M$ , coeffs dans  $A$
- utilisation de  $A$  pour éliminer de façon cohérente un multiple par RAZ

# Analyse de F4Remake

## Systèmes “similaires”

- Système paramétré générique :  $F_1, \dots, F_r \in \mathbb{K}(V)[\underline{X}]$
- Instance aléatoire :  $\{f_1, \dots, f_r\} \subset \mathbb{K}[\underline{X}]$

## Comportement générique

- 1 “calculer” avec F4 la GB de  $\langle F_1, \dots, F_r \rangle$  dans  $\mathbb{K}(V)[\underline{X}]$
- 2  $f_1, \dots, f_r$  a un comportement générique si durant le calcul de la GB avec F4
  - ▶ même nombre d'étapes
  - ▶ à chaque étape, mêmes termes de tête (donc mêmes paires)

# Analyse de F4Remake

## Systèmes “similaires”

- Système paramétré générique :  $F_1, \dots, F_r \in \mathbb{K}(V)[\underline{X}]$
- Instance aléatoire :  $\{f_1, \dots, f_r\} \subset \mathbb{K}[\underline{X}]$

## Comportement générique

- 1 “calculer” avec F4 la GB de  $\langle F_1, \dots, F_r \rangle$  dans  $\mathbb{K}(V)[\underline{X}]$
- 2  $f_1, \dots, f_r$  a un comportement générique si durant le calcul de la GB avec F4
  - ▶ même nombre d'étapes
  - ▶ à chaque étape, mêmes termes de tête (donc mêmes paires)

F4Remake calcule la GB de  $f_1, \dots, f_r$   
si le système a un comportement générique

# Analyse de F4Remake

## Systemes modulaires

- $F_1, \dots, F_r \in \mathbb{Z}[\underline{X}]$  système de polynômes primitifs
- $f_1, \dots, f_r \in \mathbb{F}_p[\underline{X}]$  sa réduction modulo  $p$  premier

## F4-lucky primes

- 1 “calculer” avec F4 la GB de  $\langle F_1, \dots, F_r \rangle$  dans  $\mathbb{Q}[\underline{X}]$
- 2  $p$  est F4-lucky si durant le calcul avec F4 de la GB  $f_1, \dots, f_r$ 
  - ▶ même nombre de étapes
  - ▶ à chaque étape, mêmes termes de têtes (donc mêmes paires)

# Analyse de F4Remake

## Systèmes modulaires

- $F_1, \dots, F_r \in \mathbb{Z}[\underline{X}]$  système de polynômes primitifs
- $f_1, \dots, f_r \in \mathbb{F}_p[\underline{X}]$  sa réduction modulo  $p$  premier

## F4-lucky primes

- 1 “calculer” avec F4 la GB de  $\langle F_1, \dots, F_r \rangle$  dans  $\mathbb{Q}[\underline{X}]$
- 2  $p$  est F4-lucky si durant le calcul avec F4 de la GB  $f_1, \dots, f_r$ 
  - ▶ même nombre de étapes
  - ▶ à chaque étape, mêmes termes de têtes (donc mêmes paires)

F4Remake calcule la GB de  $f_1, \dots, f_r$   
si  $p$  est F4-lucky

## Condition algébrique

- 1 Supposons que  $f_1, \dots, f_r$  ait un comportement générique jusqu'à l'étape  $(i - 1)$
- 2 À l'étape  $i$ , F4 construit
  - ▶  $M_g$  =matrice des multiples des polynômes à l'étape  $i$  pour le système paramétrique
  - ▶  $M$  =matrice des multiples des polynômes à l'étape  $i$  pour  $f_1, \dots, f_r$

## Condition algébrique

- ① Supposons que  $f_1, \dots, f_r$  ait un comportement générique jusqu'à l'étape  $(i - 1)$
- ② À l'étape  $i$ , F4 construit
  - ▶  $M_g$  =matrice des multiples des polynômes à l'étape  $i$  pour le système paramétrique
  - ▶  $M$  =matrice des multiples des polynômes à l'étape  $i$  pour  $f_1, \dots, f_r$
- ③ Forme échelon réduite de  $M_g$  et  $M$

$$\begin{array}{c}
 \overbrace{LT(M)} \\
 \left. \begin{array}{c} s \\ \left( \begin{array}{c|cc}
 A_{g,0} & & \\
 0 & A_{g,1} & \\
 \hline
 A_{g,3} & & A_{g,2}
 \end{array} \right)
 \end{array} \right)
 \end{array}
 \quad
 \begin{array}{c}
 \left( \begin{array}{c|cc}
 A_0 & & \\
 0 & A_1 & \\
 \hline
 A_3 & & A_2
 \end{array} \right)
 \end{array}$$

## Condition algébrique

- ① Supposons que  $f_1, \dots, f_r$  ait un comportement générique jusqu'à l'étape  $(i - 1)$
- ② À l'étape  $i$ , F4 construit
  - ▶  $M_g$  =matrice des multiples des polynômes à l'étape  $i$  pour le système paramétrique
  - ▶  $M$  =matrice des multiples des polynômes à l'étape  $i$  pour  $f_1, \dots, f_r$
- ③ Forme échelon réduite de  $M_g$  et  $M$

$$\left( \begin{array}{c|c} I_s & B_{g,1} \\ \hline 0 & B_{g,2} \end{array} \right) \quad \left( \begin{array}{c|c} I_s & B_1 \\ \hline 0 & B_2 \end{array} \right)$$

## Condition algébrique

- ① Supposons que  $f_1, \dots, f_r$  ait un comportement générique jusqu'à l'étape  $(i - 1)$
- ② À l'étape  $i$ , F4 construit
  - ▶  $M_g$  =matrice des multiples des polynômes à l'étape  $i$  pour le système paramétrique
  - ▶  $M$  =matrice des multiples des polynômes à l'étape  $i$  pour  $f_1, \dots, f_r$
- ③ Forme échelon réduite de  $M_g$  et  $M$

$$\text{RTZ} \left\{ \begin{pmatrix} I_s & & & B_{g,1} \\ 0 & & & \\ & & & \\ & & & 0 \end{pmatrix} \quad \begin{pmatrix} I_s & & & B_1 \\ 0 & & & \\ & & & \\ & & & B_2 \end{pmatrix} ? \right.$$

## Condition algébrique

- ① Supposons que  $f_1, \dots, f_r$  ait un comportement générique jusqu'à l'étape  $(i - 1)$
- ② À l'étape  $i$ , F4 construit
  - ▶  $M_g$  =matrice des multiples des polynômes à l'étape  $i$  pour le système paramétrique
  - ▶  $M$  =matrice des multiples des polynômes à l'étape  $i$  pour  $f_1, \dots, f_r$
- ③ Forme échelon réduite de  $M_g$  et  $M$

$$\left( \begin{array}{c|c|c} I_s & 0 & C_{g,1} \\ \hline 0 & I_\ell & C_{g,2} \\ \hline 0 & 0 & 0 \end{array} \right) \quad \left( \begin{array}{c|c|c} I_s & & B'_1 \\ \hline 0 & B & B'_2 \end{array} \right) ?$$

## Condition algébrique

- ① Supposons que  $f_1, \dots, f_r$  ait un comportement générique jusqu'à l'étape  $(i - 1)$
- ② À l'étape  $i$ , F4 construit
  - ▶  $M_g$  = matrice des multiples des polynômes à l'étape  $i$  pour le système paramétrique
  - ▶  $M$  = matrice des multiples des polynômes à l'étape  $i$  pour  $f_1, \dots, f_r$
- ③ Forme échelon réduite de  $M_g$  et  $M$

$$\left( \begin{array}{c|c|c} I_s & 0 & C_{g,1} \\ \hline 0 & I_\ell & C_{g,2} \\ \hline 0 & 0 & 0 \end{array} \right) \quad \left( \begin{array}{c|c|c} I_s & & B'_1 \\ \hline 0 & B & B'_2 \end{array} \right)$$

$f_1, \dots, f_r$  a un comportement générique à l'étape  $i \Leftrightarrow B$  est de rang plein

# Probabilité de succès de F4Remake

## Hypothèse heuristique

- Les matrices  $B$  sont uniformément distribuées dans  $\mathcal{M}_{n,\ell}(\mathbb{F}_q)$
- Les probabilités qu'elles soient de rang plein sont indépendantes

## Estimation des probas sur $\mathbb{F}_q$

Sous l'hypothèse heuristique:

$$\text{Proba}(\{f_1, \dots, f_r\} \text{ se comporte génériquement}) \geq c(q)^{n_{step}}$$

- $n_{step}$  = nb d'étapes durant F4 pour le calcul de la GB du système paramétrique

- $$c(q) = \prod_{i=1}^{\infty} (1 - q^{-i}) = 1 - 1/q + O_{q \rightarrow \infty}(1/q^2)$$

# Quid de la non généricité

- ① Si le précalcul est correct:
  - ▶ possibilité de détecter facilement si F4Remake est correct : comportement pas générique du système si à une étape monôme de tête plus petit (ou RAZ)
  - ▶ si échec de F4Remake, poursuite du calcul avec F4 classique
  
- ② Le précalcul est incorrect si :
  - ▶ F4Remake trouve un monôme de tête plus grand que celui trouvé par F4Precomp à la même étape
  - ▶ le résultat sur un des systèmes suivants n'est pas une GB
  - ▶ autre possibilité de détection : lancer F4Precomp sur plusieurs systèmes et comparer les résultats

# Limites de l'heuristique

## Cas particuliers

Systèmes paramétrés de partie homogène de plus haut degré dans  $\mathbb{K}[X]$

- Hypothèse heuristique non valide
- Mais comportement générique jusqu'à la première chute de degré

## Schéma de signature UOV

Forger une signature  $\leftrightarrow$  résoudre un système quadratique sous-déterminé

Paramètres recommandés : 16 équations, 32 (ou 48) variables sur  $\mathbb{K} = \mathbb{F}_{2^4}$

$$P_k = \sum_{i,j=1}^{48} a_{ij}^k x_i x_j + \sum_{i=1}^{48} b_i^k x_i + c^k, \quad k = 1 \dots 16$$

# Limites de l'heuristique

## Cas particuliers

Systèmes paramétrés de partie homogène de plus haut degré dans  $\mathbb{K}[X]$

- Hypothèse heuristique non valide
- Mais comportement générique jusqu'à la première chute de degré

## Schéma de signature UOV

Paramètres recommandés :  $m = 16$  éq,  $n = 32$  (ou 48) var sur  $\mathbb{K} = \mathbb{F}_{2^4}$   
Faugère et al.:

- fixer  $m - n$  variables et trouver une solution valide
- faire une recherche exhaustive sur 3 variables supplémentaires

$$P_k = \sum_{i,j=1}^{13} a_{ij}^k x_i x_j + \sum_{i=1}^{13} \left( b_i^k + \sum_{j=14}^{16} a_{ij}^k x_j \right) x_i + \left( \sum_{i,j=14}^{16} a_{ij}^k x_i x_j + \sum_{i=14}^{16} b_i^k x_i + c^k \right)$$

## Exemple UOV par approche hybride

But : calculer les GB des systèmes  $S_{x_{14}, x_{15}, x_{16}} = \{P_1, \dots, P_{16}\}$  pour tout  $(x_{14}, x_{15}, x_{16}) \in \mathbb{F}_{2^4}^3$  où

$$P_k = \sum_{i,j=1}^{13} a_{ij}^k x_i x_j + \sum_{i=1}^{13} \left( b_i^k + \sum_{j=14}^{16} a_{ij}^k x_j \right) x_i + \left( \sum_{i,j=14}^{16} a_{ij}^k x_i x_j + \sum_{i=14}^{16} b_i^k x_i + c^k \right)$$

### Résolution avec F4Remake

- 6 étapes, première chute de degré constatée à l'étape 5

$$\text{Proba}(S_{x_{14}, x_{15}, x_{16}} \text{ se comporte génériquement}) \geq c(16)^2 \simeq 0.87$$

- exploration exhaustive : la probabilité constatée sur différents exemples est d'environ 90%

# Exemple UOV par approche hybride

	F4Remake <sup>1</sup>	F4 <sup>1</sup>	F4 Magma <sup>2</sup>	F4/F4Remake
Timing (sec)	5.04	16.77	120.6	3.3
Largest matrix	5913 × 7005	10022 × 8329	10245 × 8552	2.0

- précalcul fait en 32.3 sec rapidement amorti
- à comparer aux 9.41 sec de F5<sup>3</sup> mentionnés par Faugère et al.
- génériquement, la GB est  $\langle 1 \rangle$ 
  - solutions à rechercher parmi les systèmes non génériques

---

<sup>1</sup>2.6 GHz Intel Core 2 duo

<sup>2</sup>V2.16-12

<sup>3</sup>2.4 GHz Bi-pro Xeon

## Part III

# Applications aux attaques par décomposition sur courbes elliptiques

# Attaques de problèmes standards et moins standards

## Calcul d'index sur courbes elliptiques

ECDLP : soient  $P \in E(\mathbb{F}_{q^n})$  et  $Q \in \langle P \rangle$ , trouver  $x$  tel que  $Q = [x]P$

- Base de factorisation :  $\mathcal{F} = \{P \in E(\mathbb{F}_{q^n}) : P = (x_p, y_p), x_p \in \mathbb{F}_q\}$
- Recherche de relations (au moins  $q$  indépendantes) : décomposer  $[a_i]P + [b_i]Q$  ( $a_i, b_i$  aléatoires) comme somme de points de  $\mathcal{F}$
- Phase d'algèbre linéaire : déduire des relations obtenues le DLP de  $Q$

# Attaques de problèmes standards et moins standards

## Calcul d'index sur courbes elliptiques

ECDLP : soient  $P \in E(\mathbb{F}_{q^n})$  et  $Q \in \langle P \rangle$ , trouver  $x$  tel que  $Q = [x]P$

- Base de factorisation :  $\mathcal{F} = \{P \in E(\mathbb{F}_{q^n}) : P = (x_p, y_p), x_p \in \mathbb{F}_q\}$
- Recherche de relations (au moins  $q$  indépendantes) : décomposer  $[a_i]P + [b_i]Q$  ( $a_i, b_i$  aléatoires) comme somme de points de  $\mathcal{F}$
- Phase d'algèbre linéaire : déduire des relations obtenues le DLP de  $Q$

## Problème Static Diffie-Hellman assisté d'un oracle

$G$  groupe fini,  $d$  entier secret

- Phase d'apprentissage : l'attaquant a accès à un oracle qui calcul  $[d]Y$  pour tout  $Y \in G$
- L'attaquant doit ensuite calculer  $[d]X$  pour un challenge  $X$  non vu précédemment

→ attaque de SDHP sur  $E(\mathbb{F}_{q^n})$  si on sait décomposer dans  $\mathcal{F}$

# Approches existantes : Gaudry-Diem, variante Joux-V.

## Objectif

Savoir décomposer rapidement un point  $R \in E(\mathbb{F}_{q^n})$  aléatoire en somme de  $m$  points de la base  $\mathcal{F} = \{(x, y) \in E(\mathbb{F}_{q^n}) : x \in \mathbb{F}_q\}$

Outils :

- Semaev :  $(m + 1)$ -ème poly de sommation ( $\deg_{x_i}(f_{m+1}) = 2^{m-1}$ )  

$$f_{m+1}(x_R, x_{P_1}, \dots, x_{P_m}) = 0$$

$$\Leftrightarrow \exists \epsilon_1, \dots, \epsilon_m \in \{1, -1\}, R = \epsilon_1 P_1 + \dots + \epsilon_m P_m$$

- Restriction de Weil : décomposer dans base  $\mathbb{F}_q$  linéaire de  $\mathbb{F}_{q^n}$

$$f_{m+1}(x_R, x_{P_1}, \dots, x_{P_m}) = 0 \Leftrightarrow \begin{cases} \varphi_1(x_{P_1}, \dots, x_{P_m}) = 0 \\ \vdots \\ \varphi_n(x_{P_1}, \dots, x_{P_m}) = 0 \end{cases} \quad (\mathcal{S}_R)$$

chaque essai de décomposition d'un point  $R \leftrightarrow$  résoudre  $\mathcal{S}_R$  sur  $\mathbb{F}_q$

## Choix des paramètres

$$E(\mathbb{F}_{q^n}), \mathcal{F} = \{(x, y) \in E(\mathbb{F}_{q^n}) : x \in \mathbb{F}_q\}, R = \epsilon_1 P_1 + \dots + \epsilon_m P_m$$

	Gaudry-Diem	Joux-V.
nb de points	$m = n$	$m = n - 1$
nb essais par relation	$n!$	$(n - 1)!q$
caractéristiques de $\mathcal{S}_R$	deg $2^{n-1}$ $n$ eq/var	deg $2^{n-2}$ $n$ eq, $n - 1$ var
$\text{deg}(I(\mathcal{S}_R))$	$2^{n(n-1)}$	0 (1 except.)
complexité de l'attaque	$n!2^{3n(n-1)}q^{2-2/n}$	$n!2^{\omega(n-1)(n-2)}e^{\omega n}q^2$

Cas limite en pratique : on sait décomposer au mieux en  $m = 4$  points

# Résultats sur $E(\mathbb{F}_{p^5})$ , $p$ impair (variante Joux-V.)

- $\mathcal{S}_R$  est composé de 5 éq sur  $\mathbb{F}_p$  en 4 variables, degré total 8
- Heuristique valide : coeffs de  $\mathcal{S}_R$  poly. en  $x_R$  aléatoire
- Précalcul en 8.963 sec, 29 étapes dans le calcul, degré max 19

taille de $p$	est. proba. échec	F4Remake <sup>1</sup>	F4 <sup>1</sup>	F4/F4Remake	F4 Magma <sup>2</sup>
8 bits	0.11	2.844	5.903	2.1	9.660
16 bits	$4.4 \times 10^{-4}$	3.990	9.758	2.4	9.870
25 bits	$2.4 \times 10^{-6}$	4.942	16.77	3.4	118.8
32 bits	$5.8 \times 10^{-9}$	8.444	24.56	2.9	1046

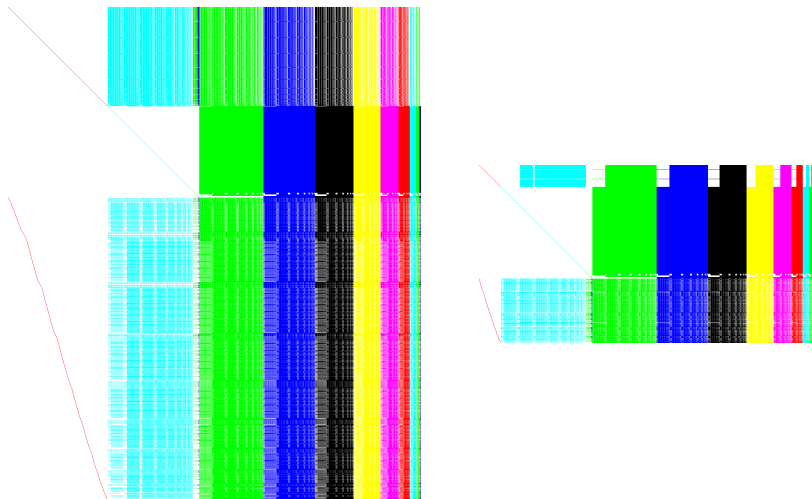
Étape	degré	taille matrices F4Remake	taille matrices F4	ratio
14	17	$1062 \times 3072$	$1597 \times 3207$	1.6
15	16	$1048 \times 2798$	$1853 \times 2999$	1.9
16	15	$992 \times 2462$	$2001 \times 2711$	2.2
17	14	$903 \times 2093$	$2019 \times 2369$	2.5
18	13	$794 \times 1720$	$1930 \times 2000$	2.8

<sup>1</sup>2.93 GHz Intel Xeon processor

<sup>2</sup>V2.15-15

# Un exemple de matrice sans et avec précalcul

## Étape 20



# Comparaison avec F5

Points communs :

- élimination des réductions à zéro
- même borne supérieure pour complexité théorique

$$\tilde{O} \left( \binom{d_{reg} + n}{n}^\omega \right)$$

## Comparaison avec F5

Points communs :

- élimination des réductions à zéro
- même borne supérieure pour complexité théorique

$$\tilde{O} \left( \binom{d_{reg} + n}{n}^\omega \right)$$

En pratique sur le système précédent :

- performances nettement inférieures pour notre implémentation de F5
- F5 crée de nombreux polynômes redondants (critère F5) :  
17249 polynômes dans la base avant minimalisation
- F4 crée seulement 2789 polynômes  
→ meilleur comportement quelle que soit l'implémentation

# Résultats en caractéristique paire

## Courbe Oakley : 'Well Known Group' 3 curve d'IPSEC

$$\mathbb{F}_{2^{155}} = \mathbb{F}_2[u]/(u^{155} + u^{62} + 1)$$

$$E : y^2 + xy = x^3 + (u^{18} + u^{17} + u^{16} + u^{13} + u^{12} + u^9 + u^8 + u^7 + u^3 + u^2 + u + 1)$$

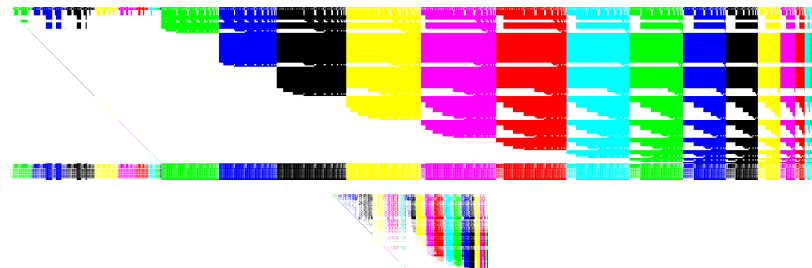
$$\#E(\mathbb{F}_{2^{155}}) = 12 * 3805993847215893016155463826195386266397436443$$

- F4 classique : 148 étapes, degré max 17, 85 ms (Magma: 620 ms)
- Précalcul en 135 ms
- F4Remake : 30 ms/test de décomposition,  $4!2^{31} \simeq 5.10^{10}$  tests à faire  
 $\Rightarrow \leq 2$  semaines pour attaquer SDHP assisté d'un oracle ( $2^{30}$  appels)  
 avec 1300 processeurs
- 300 fois plus rapide qu'en caractéristique impaire !

## Différence caractéristique paire/impair

- polynôme de Semaev 13 fois plus creux en caractéristique paire  
→ matrices beaucoup plus petites

Exemple au degré 16 :



- à partir du step 18 :  
2 paires max à chaque étape, toujours de la même forme  
→ optimisation en conservant la matrice d'une étape à l'autre  
(2 fois plus rapide)

# Attaque par décomposition sur $E(\mathbb{F}_{q^n})$ , $n > 6$

## Quel compromis ?

- complexité des tests de décomposition  $\rightarrow$  approches précédentes irréalisables
- $m$  petit  $\rightarrow$  modifier le choix de la base de factorisation
- complexité algèbre linéaire vs complexité décomposition

# Attaque par décomposition sur $E(\mathbb{F}_{q^n})$ , $n > 6$

## Quel compromis ?

- complexité des tests de décomposition  $\rightarrow$  approches précédentes irréalisables
- $m$  petit  $\rightarrow$  modifier le choix de la base de factorisation
- complexité algèbre linéaire vs complexité décomposition

## Idée 1 : décomposer en $m$ points et agrandir la base

$$\mathcal{F} = \{P \in E(\mathbb{F}_{q^n}) : x_P = x_{1,P} + \dots + x_{d,P}t^{d-1}, \quad x_{1,P}, \dots, x_{d,P} \in \mathbb{F}_q\}$$

- proba de décomposition :  $\simeq q^{md-n}/m!$
- coût algèbre linéaire :  $\tilde{O}(mq^{2d})$
- coût décomposition : polynômes obtenus par restriction de Weil seulement invariants par  $\mathfrak{S}_m$  et non plus  $\mathfrak{S}_{md}$ 
  - $\rightarrow$  travailler dans  $\mathbb{F}_q[(X_{ij})_{1 \leq i \leq m, 1 \leq j \leq d}]^{\mathfrak{S}_m}$  infructueux
  - $\rightarrow$  bases de Gröbner SAGBI ?

# Attaque par décomposition sur $E(\mathbb{F}_{q^n})$ , $n > 6$

## Idée 2 : variation “one/double large prime”

Algèbre linéaire en  $\tilde{O}(q^2)$ , décomposition dans différentes bases

$$\mathcal{F} = \{P \in E(\mathbb{F}_{q^n}) : x_P \in \mathbb{F}_q\}$$

$$\mathcal{F}_0 = \{P \in E(\mathbb{F}_{q^n}) : x_P = x_{0,P} + x_{1,P}t, \quad x_{0,P}, x_{1,P} \in \mathbb{F}_q\}$$

① Version “One large prime” :

$$R = P_1 + \dots + P_{m-2} + Q, \quad P_i \in \mathcal{F}, Q \in \mathcal{F}_0$$

$$\rightarrow \text{nb tests nécessaires} \simeq (m-2)!q^{n-m+3/2}$$

Attaque par décomposition sur  $E(\mathbb{F}_{q^n})$ ,  $n > 6$ 

## Idée 2 : variation “one/double large prime”

Algèbre linéaire en  $\tilde{O}(q^2)$ , décomposition dans différentes bases

$$\mathcal{F} = \{P \in E(\mathbb{F}_{q^n}) : x_P \in \mathbb{F}_q\}$$

$$\mathcal{F}_0 = \{P \in E(\mathbb{F}_{q^n}) : x_P = x_{0,P} + x_{1,P}t, x_{0,P}, x_{1,P} \in \mathbb{F}_q\}$$

① Version “One large prime” :

$$R = P_1 + \dots + P_{m-2} + Q, \quad P_i \in \mathcal{F}, Q \in \mathcal{F}_0$$

$$\rightarrow \text{nb tests nécessaires} \simeq (m-2)!q^{n-m+3/2}$$

② Version “Double large prime” :

$$R = P_1 + \dots + P_{m-4} + Q_1 + Q_2, \quad P_i \in \mathcal{F}, Q_i \in \mathcal{F}_0$$

$$\rightarrow \text{nb tests nécessaires} \simeq 2(m-4)!q^{n-m+2}$$

Attaque par décomposition sur  $E(\mathbb{F}_{q^n})$ ,  $n > 6$ 

## Idée 2 : variation “one/double large prime”

Algèbre linéaire en  $\tilde{O}(q^2)$ , décomposition dans différentes bases

$$\mathcal{F} = \{P \in E(\mathbb{F}_{q^n}) : x_P \in \mathbb{F}_q\}$$

$$\mathcal{F}_0 = \{P \in E(\mathbb{F}_{q^n}) : x_P = x_{0,P} + x_{1,P}t, x_{0,P}, x_{1,P} \in \mathbb{F}_q\}$$

① Version “One large prime” :

$$R = P_1 + \dots + P_{m-2} + Q, \quad P_i \in \mathcal{F}, Q \in \mathcal{F}_0$$

$$\rightarrow \text{nb tests nécessaires} \simeq (m-2)!q^{n-m+3/2}$$

② Version “Double large prime” :

$$R = P_1 + \dots + P_{m-4} + Q_1 + Q_2, \quad P_i \in \mathcal{F}, Q_i \in \mathcal{F}_0$$

$$\rightarrow \text{nb tests nécessaires} \simeq 2(m-4)!q^{n-m+2}$$

- intérêt : polynôme de Semaev de plus petit degré
- mais pas suffisant pour compenser la perte de symétrie  
 $\rightsquigarrow$  GB incalculable

# Calcul de traces de l'algorithme F4 et applications

Vanessa VITSE – Antoine Joux

Université de Versailles Saint-Quentin, Laboratoire PRISM

Séminaire CARMEL, LORIA, Nancy